СПИСОК ЛИТЕРАТУРЫ

- Удут Л.С., Мальцева О.П., Кояин Н.В. Проектирование и исследование автоматизированных электроприводов. Часть 8. Асинхронный частотно-регулируемый электропривод. – Томск: Изд-во ТПУ, 2000. – 448 с.
- Glazyrin A.S., Bolovin E.V. Time delay adjustment for the method of parameter identification of dynamic object // Aktualne problemy nowjczesnych nauk-2012: Materialy VIII Miedzynarodowej naukowi-praktycznej konferencji. – Пшемысль, 7–15 czerwca 2012. – Przemysl: Nauka i studia, 2012. – T. 45. – C. 79–81.
- Копченова Н.В., Марон И.А. Вычислительная математика в примерах и задачах. – М.: Изд-во «Наука», 1972. – 367 с.
- 4. Кирьянов Д.В. Многоточечные аппроксимации производных // YouTube. 2011. URL: http://www.youtube.com/watch?v=oJ-EFFCfNeHU&list=PL1516D0C35386B45A&index=8&feature=plpp video (дата обращения 05.10.2012).
- Глазырин А.С., Боловин Е.В. Разработка и лабораторное опробирование метода идентификации параметров электродвигателей на основе разностых схем // Известия Томского политехнического университета. 2012. Т. 321. № 4. С. 112–115

Поступила 15.10.2012 г.

УДК 621.313.333.2

ПРИНЦИП ПОСТРОЕНИЯ ОТКАЗОУСТОЙЧИВОЙ СИСТЕМЫ УПРАВЛЕНИЯ АСИНХРОННЫМ ЭЛЕКТРОПРИВОДОМ

Р.Ю. Ткачук*, А.С. Глазырин

Томский политехнический университет *OAO «НПО «Карат», г. Санкт-Петербург E-mail: Tkachuk.R.U@npo-karat.ru

Предложен метод построения отказоустойчивой системы управления асинхронным электроприводом. Рассмотрены способы адаптации системы управления к переходным процессам, возникающим в электроприводе при смене метода управления. Исследованы переходные процессы в разработанной системе электропривода посредством имитационного моделирования.

Ключевые слова:

Асинхронный электропривод, устойчивость к неисправности, отказоустойчивая система управления.

Key words:

Induction motor drive, fault tolerance, fault-tolerant control system.

Введение

В последнее время большое внимание привлекают отказоустойчивые системы управления (fault-tolerant control — FTC) электроприводами, способные выявлять зарождающиеся неисправности датчиков и исполнительных механизмов и оперативно адаптировать закон управления таким образом, чтобы сохранить заданные характеристики (качество производства, безопасность и т. д.). Для достижения этой цели система управления реорганизуется таким образом, чтобы использовать наилучший метод управления в соответствии с имеющимися сигналами обратных связей [1].

Одним из способов повышения надежности электропривода с помощью *FTC* является функциональное резервирование, при котором функция регулирования скорости асинхронного электродвигателя может выполняться с использованием замкнутой системы управления с датчиками, замкнутой бездатчиковой системы и разомкнутой системы.

Функциональная схема электропривода переменного тока с отказоустойчивой системой управления

Функциональная схема асинхронного электропривода с отказоустойчивой системой управления приведена на рис. 1. На рис. 1 приняты следующие обозначения: $\Pi \Psi$ — преобразователь частоты; M — асинхронный электродвигатель; $\Pi \Psi$ — датчик скорости; $\Pi \Psi$ — датчик напряжения; $\Pi \Psi$ — датчик тока; $\Pi \Psi$ — $\Pi \Psi$ — системы идентификации; $\Pi \Psi$ — Π

Система управления реорганизуется таким образом, чтобы использовать наилучший метод управления в соответствии с имеющимися сигналами обратных связей. В случае отказа датчика скорости, он заменяется наблюдателем, который преобразует сигналы напряжения и тока статора в необходимую информацию о потокосцеплении и скорости двигателя. В случае отказа датчиков тока и датчика скорости, применяется разомкнутая система со скалярным управлением, чтобы гарантировать работоспособность электропривода.

Система *FTC* включает три модуля идентификации необходимых координат, и две системы управления — векторную и скалярную, переключение между которыми осуществляется в соответствии с табл. 1.

Таким образом, система *FTC* поддерживает электропривод в работоспособном состоянии при отказах датчиков тока и скорости. При таком подходе надежность системы электропривода значительно возрастает.

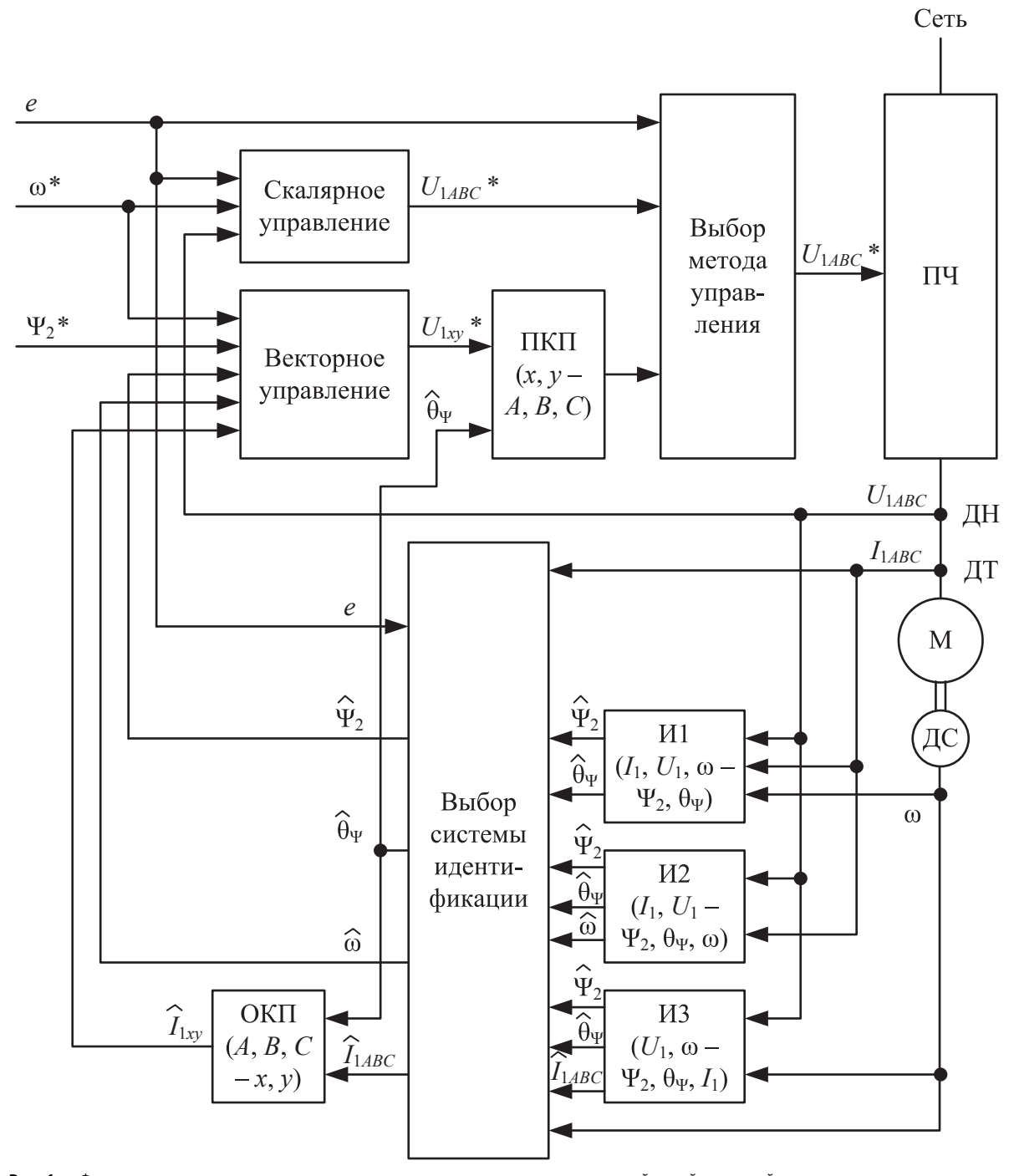


Рис. 1. Функциональная схема электропривода переменного тока с отказоустойчивой системой управления

Таблица 1. Выбор систем идентификации и управления

Логический сигнал неисправности датчика тока, е,	Логический сигнал неисправности датчика скорости, $e_{\scriptscriptstyle \varnothing}$	Система иденти- фикации	Система управле- ния
0	0	Nº 1	Векторная
0	1	Nº 2	Векторная
1	0	Nº 3	Векторная
1	1	-	Скалярная

Адаптация системы управления к переходны м процессам, возникающим в электроприводе при смене метода управления

В электроприводе с FTC (рис. 1) при переходе с векторной системы управления на скалярную возникают ударные моменты, превышающие номинальный момент $M_{\rm H}$ более чем в 2 раза (рис. 2, 3), что может привести к повреждению электропривода. Броски момента являются следствием мгновенного изменения сигналов задания напряжения ста-

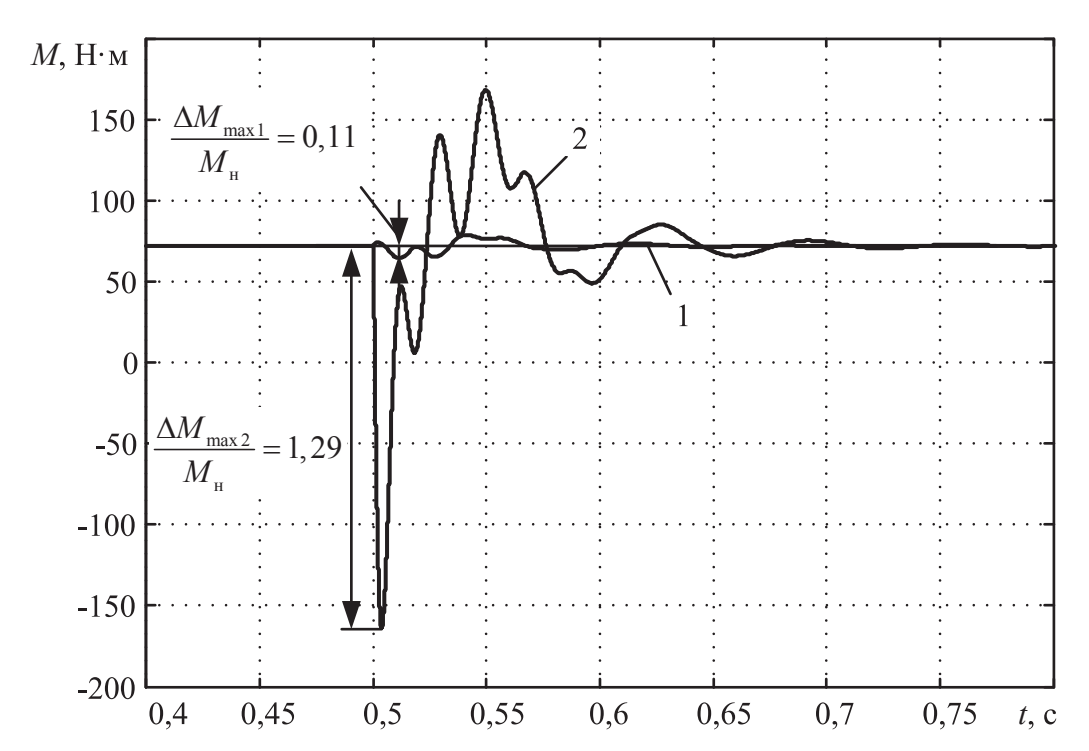


Рис. 2. Графики переходных процессов электромагнитного момента АД в электроприводах с адаптированной (1) и обычной (2) системой скалярного управления при переходе с векторной системы управления на скалярную ($\omega^*=\omega_{\text{\tiny H}}$, $M_{\text{\tiny C}}=M_{\text{\tiny H}}$)

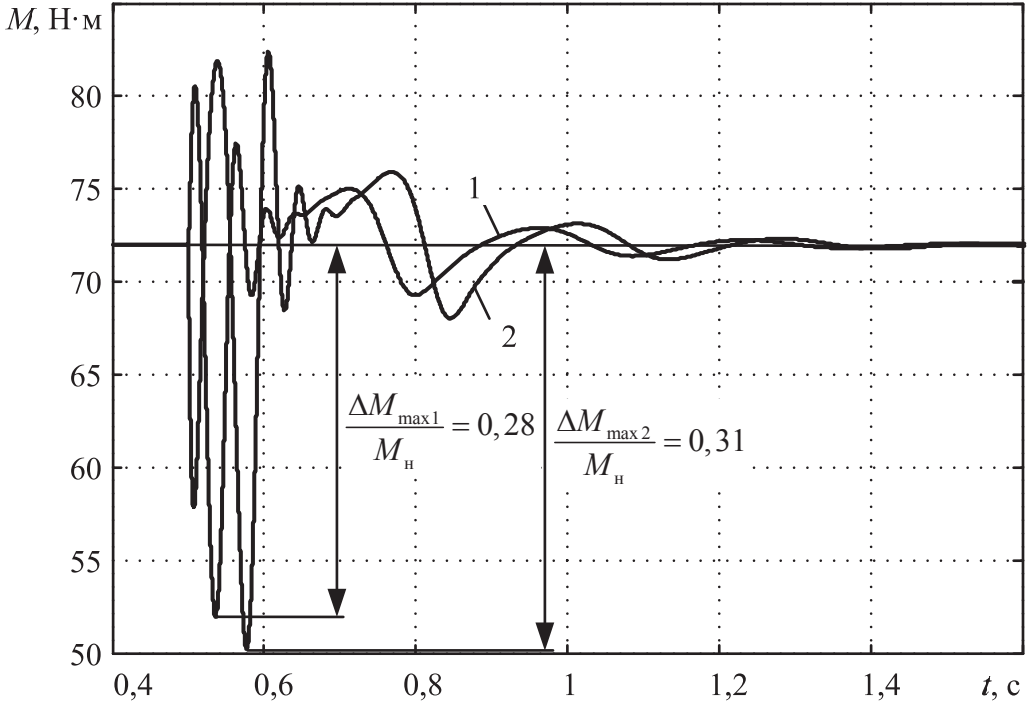


Рис. 3. Графики переходных процессов электромагнитного момента АД в электроприводах с адаптированной (1) и обычной (2) системой скалярного управления при переходе с векторной системы управления на скалярную (ω^* =0,1· ω_* , M_c = M_*)

тора. Для их уменьшения необходимо внести изменения в скалярную систему управления, позволяющие принудительно задать вектор напряжений в момент переключения систем управления и ограничить скорость изменения амплитуды напряжения. Адаптированная система скалярного управления представлена на рис. 4, 5.

При появлении сигналов неисправности датчиков тока e_i и скорости e_{ω} в ЯП записывается угол поворота вектора напряжения статора θ_0 на предыдущем шаге дискретизации. Одновременно с этим начинается расчет угла вектора напряжения в соответствии с частотой, заданной скалярной системой управления, при этом в качестве начально-

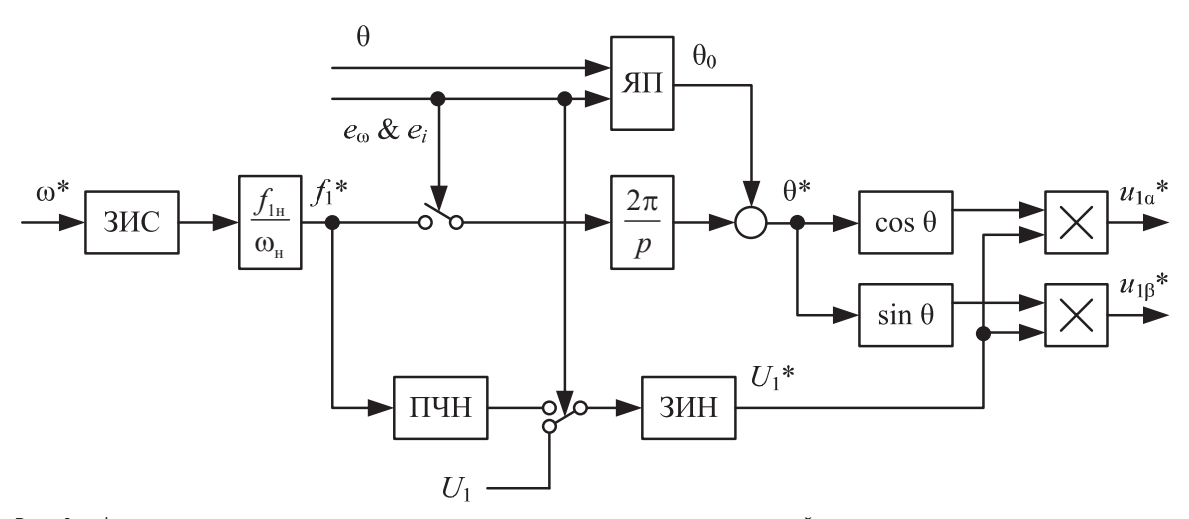


Рис. 4. Функциональная схема системы скалярного управления, адаптированной к переходным процессам, возникающим в электроприводе при смене метода управления (ЯП – ячейка памяти, ЗИС – задатчик интенсивности скорости, ПЧН –преобразователь «частота-напряжение», ЗИН – задатчик интенсивности напряжения)

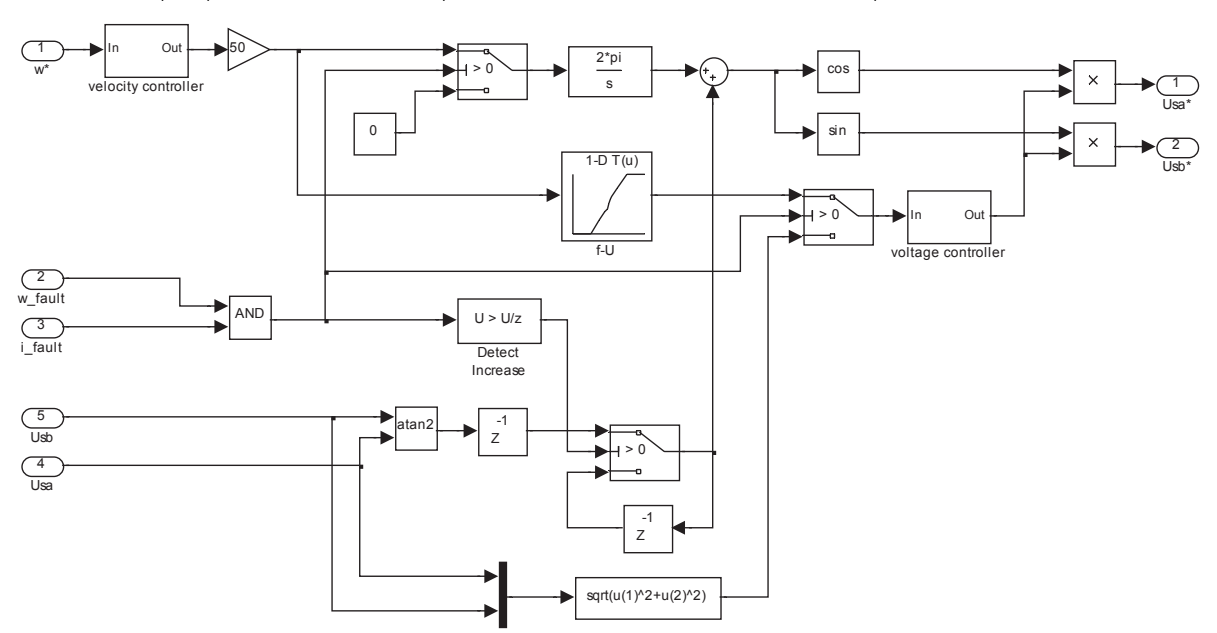


Рис. 5. Имитационная модель системы скалярного управления, адаптированной к переходным процессам, возникающим в электроприводе при смене метода управления

го значения угла принимается записанное в ЯП значение θ_0 . Также производится переключение сигнала задания амплитуды напряжения статора с текущей амплитуды напряжения на заданную скалярной системой управления. Благодаря линейному ЗИН переключение сигнала задания амплитуды напряжения статора происходит плавно. Постоянную времени ЗИН приняли

стоянную времени ЗИН приняли
$$T_{\rm 3ИH} = \frac{n_{\rm c \; max}}{n_{\rm H \; max}} T_{\rm 3ИC} = T_{\rm 3ИC} = 0,17 \; {\rm c},$$

так как при $T_{\rm 3ИH} > T_{\rm 3ИC}$ скорость изменения $U_{\rm 1}$ при пуске и изменении задания на скорость будет меньше, чем заданная ЗИС, при $T_{\rm 3ИH} < T_{\rm 3ИC}$ возрастет амплитуда колебаний момента.

Амплитуду колебаний момента при смене метода управления можно регулировать, изменяя $T_{3ин}$.

На рис. 6 приведена зависимость относительной

просадки по моменту
$$\frac{\Delta M_{\mathrm{max}}}{M_{_{\mathrm{H}}}}$$
 от $T_{\mathrm{3ИH}}$, полученная

с помощью имитационного моделирования переходных процессов при переходе с векторной системы управления на скалярную при работе электропривода на номинальной скорости $\omega_{\scriptscriptstyle \rm H}$.

Реакция системы диагностики на неисправность не является мгновенной. Для уменьшения влияния задержки выдачи сигнала неисправности на динамические характеристики электропривода были введены в цепи обратных связей дополнительные сглаживающие фильтры.

Найдены постоянные времени дополнительных фильтров в цепях обратных связей. В худшем случае

временная зависимость сигнала обратной связи при повреждении датчика описывается уравнением:

$$x(t) = x_{\text{max}} e^{-\frac{t}{T_{\phi.\text{oc}}}},$$

где x_{\max} — максимальное значение сигнала; $T_{\phi, \text{oc}}$ — постоянная времени фильтра в цепи обратной связи.

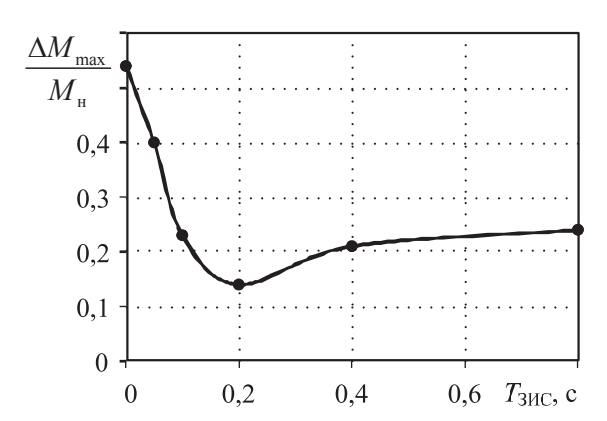


Рис. 6. Зависимость относительной просадки по моменту $\frac{\Delta M_{\rm max}}{M_{_{\rm H}}} \ \, \text{от величины постоянной времени задатчика}$ интенсивности напряжения $T_{_{\rm 3MH}}.$

График зависимости x(t) приведен на рис. 7. Отсюда найдена $T_{\text{b.o.}}$:

$$T_{\phi, \text{oc}} \ge -\frac{t_{\text{ph}}}{\ln(1-\delta_{\text{tight}})},$$

где $t_{\rm ph}$ — время реакции на неисправность; $\delta_{\rm доп} = \frac{\Delta x}{x_{\rm max}}$ — допустимое относительное отклонение сигнала.

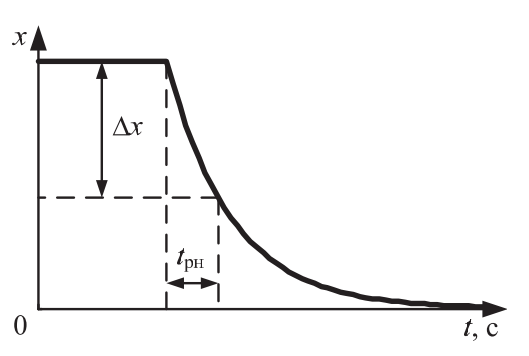


Рис. 7. Временная зависимость сигнала обратной связи при повреждении датчика

СПИСОК ЛИТЕРАТУРЫ

- Diallo D., Benbouzid M.E.H., Makouf A. A fault-tolerant control architecture for induction motor drives in automotive applications // IEEE Transactions on Vehicular Technology. – 2004. – № 6. – P. 1847–1855.
- Интеллектуальный токовый датчик для управления драйвером электродвигателей // CHIPINFO. 2012. URL: http://www.chi-

Суммарное время реакции на неисправность интеллектуального токового датчика для управления драйвером электродвигателей HCPL-788J компании Hewlett Packard составляет 3,4 мкс [2]. Было принято $t_{\rm ps}=10^{-5}$ с. Имитационное моделирование показало, что для улучшения динамических характеристик электропривода достаточно $\delta_{\rm доп}=0,2$. Тогда:

$$T_{\phi,\text{oc}} = -\frac{10^{-5}}{\ln(1-0,2)} = 4,48 \cdot 10^{-5} \text{ c.}$$

На рис. 8 приведены графики переходных процессов скорости в бездатчиковом асинхронном электроприводе при переключении с системы идентификации № 1 на систему идентификации № 3 при работе электропривода на номинальной скорости $\omega_{\rm H}$. Для исследования переходных процессов при внезапном отказе датчика скорости по цепи обратной связи подавался сигнал, равный 0.

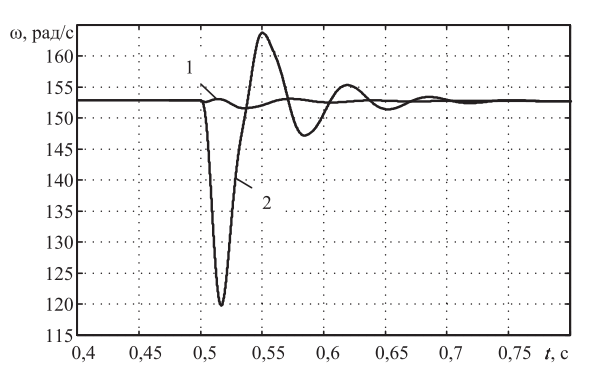


Рис. 8. Графики переходных процессов скорости в бездатчиковом асинхронном электроприводе при переключении с системы идентификации № 1 на систему идентификации № 3 с имитацией повреждения датчика скорости с фильтром (1) и без фильтра (2) в цепи обратной связи

Инерционности в цепях обратных связей необходимо учитывать при оптимизации контуров регулирования векторной системы управления. Их введение приведет к незначительному уменьшению быстродействия электропривода.

Выводь

Разработана отказоустойчивая система управления асинхронным электроприводом, гарантирующая работоспособность электропривода при отказах датчиков токов статора и скорости двигателя.

Применение функционального резервирования датчиков позволило повысить надежности электропривода без увеличения его себестоимости.

- pinfo.ru/literature/chipnews/199901/34.html (дата обращения: 19.11.2012).
- Никифоров В.О., Ушаков А.В. Управление в условиях неопределенности: чувствительность, адаптация, робастность. — СПб.: СПб ГИТМО (ТУ), 2002. — 232 с.

Поступила 20.11.2012 г.